



# Elektrotechnisches Grundlagenpraktikum

## Operationsverstärker I

- Grundschaltungen
- Eigenschaften

# Inhaltsverzeichnis

1	Lern	nziele	3					
2	Literatur							
3	Geräte							
4	The	pretische Grundlagen	4					
	4.1	Einleitung	4					
	4.2	Der Operationsverstärker - ein Differenzverstärker	4					
	4.3	Eigenschaften integrierter Operationsverstärker						
		4.3.1 Differenzverstärkung	6					
		4.3.2 Offsetspannung, Gleichtaktunterdrückung	7					
	4.4	Prinzip der Gegenkopplung	9					
5	Eige	enschaften einfacher OP-Schaltungen	10					
	5.1	Der nicht-invertierende Spannungsverstärker	10					
	5.2	Der nicht-invertierende Impedanzwandler	12					
	5.3	Der invertierende Spannungsverstärker mit Gegenkopplung	12					
	5.4	Der Schmitt-Trigger – ein Schwellwertschalter mit Hysterese	14					
6	Vers	suchsdurchführung	17					
	6.1	Aufgabe 1: Ermittlung der Kenndaten des OP	18					
	6.2	Aufgabe 2: Der Operationsverstärker als Inverter	18					
		6.2.1 Aufgabe 2a: Frequenzgang der Inverterschaltung	19					
		6.2.2 Aufgabe 2b: Frequenzgang der Leerlauf-Differenzverstärkung	20					
	6.3	Aufgabe 3: Frequenzgang des invertierenden Spannungsverstärkers	22					
	6.4	Aufgabe 4: Verstärkung eines schwachen Sensorsignales	23					
		6.4.1 Aufgabe 4a: Verstärkung mit invertierendem Verstärker	23					
		6.4.2 Aufgabe 4b: Verstärkung mit nicht-invertierendem Verstärker	24					
	6.5	Aufgabe 5: Entwurf eines Schmitt-Trigger Schwellwertschalters	25					
ETC	GP - V	ersuchsfeedback	27					
Anh	ang A	Datenblatt OP uA741 (Auszug)	29					

## 6 Versuchsdurchführung

Bild 6.1 zeigt die Versuchsbox für die Versuche Operationsverstärker I und II. Der Operationsverstärker vom Typ 741 wird in den Sockel in der Mitte der Frontplatte gesteckt. Hierbei ist auf die Kennung zu achten, die auch am Gehäuse des OP vorhanden ist.

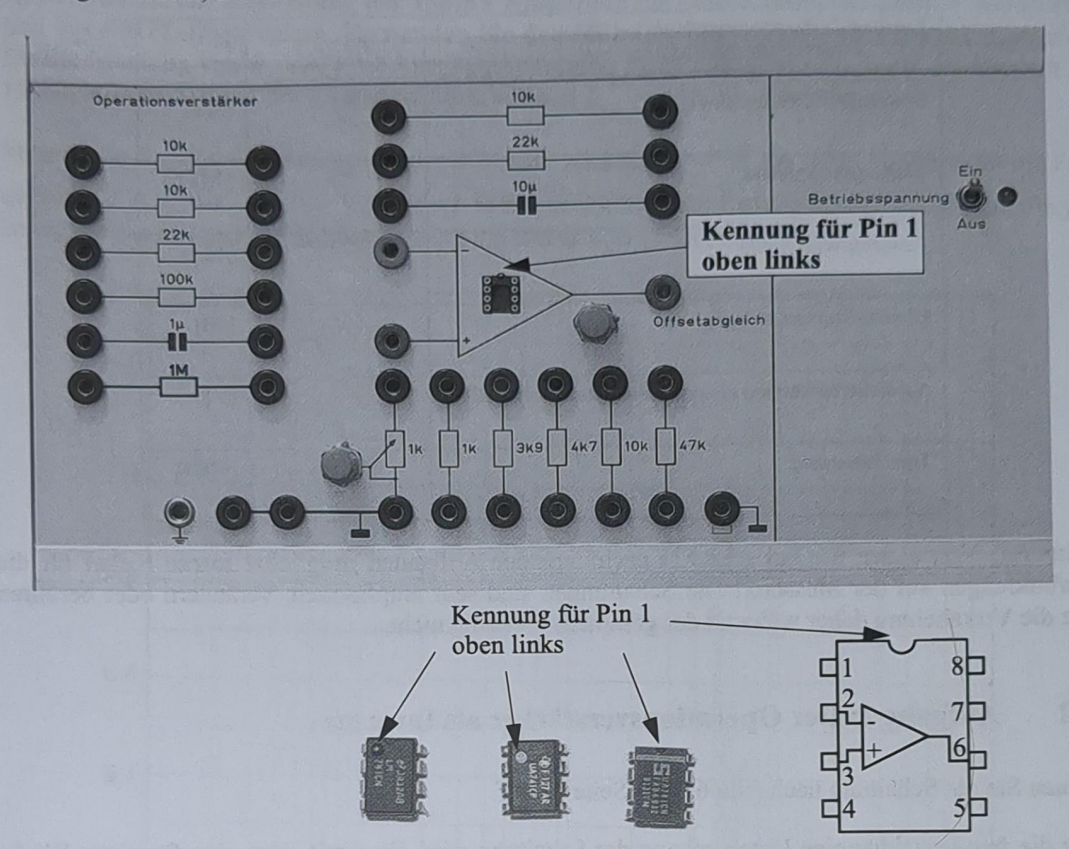


Bild 6.1 Versuchsbox Operationsverstärker (oben). Operationsverstärker-IC Typ 741 im Dual-In-Line (DIL) Gehäuse verschiedener Hersteller (unten)

Die Betriebsspannungen +15V und -15V sind im Versuchsaufbau intern bereits angeschlossen und müssen nach der Verkabelung am Schalter "Betriebsspannung" eingeschalten werden.

## Hinweis: Der Regler Offsetabgleich wir erst beim Versuch Operationsverstärker II benötigt.



Die vollständige Anschlussbelegung des IC kann dem Datenblatt in Anhang A entnommen werden. Alle Wechselspannungsmessungen sind mit dem Oszilloskop vorzunehmen. Sein Eingangswiderstand ist ausreichend hochohmig. Es lässt sich auch stets kontrollieren, ob die Ausgangsspannung noch unverzerrt ist, oder ob eine zu große Eingangsspannung verwendet wird. Verwenden Sie daher das Oszilloskop im Zweikanalbetrieb um die Eingangs- und Ausgangsspannung simultan darzustellen.

Stellen Sie den Funktionsgenerator zuerst auf seine Werkseinstellungen zurück. Beachten Sie hierzu die "Anleitung zum Funktionsgenerator" im vorderen Teil B des Skripts.



## 6.1 Aufgabe 1: Ermittlung der Kenndaten des OP

Bestimmen Sie die typischen Werte folgender Kenndaten ihres OP uA741C aus dem Datenblatt im Anhang:

Leerlauf-Differenzverstärkung bei 0 Hz	106	[dB]
Eingangs-Offset-Spannung	1	[mV]
Eingangswiderstand	2	[ΜΩ]
Ausgangswiderstand	75	[Ω]
Gleichtaktunterdrückung	30	[dB]
Aussteuerbarkeit bei einem Lastwiderstand von $10k\Omega$	+14	[V]
Transitfrequenz	1	[MHz]



Hinweis: Verwenden Sie bei ALLEN nachfolgenden Aufbauten möglichst kurze Kabel für die Verbindungen auf der Messbox! Die Schaltungen sind sehr empfindlich. Verändern oder berühren Sie die Verkabelung daher während der gesamten Messung nicht.

## 6.2 Aufgabe 2: Der Operationsverstärker als Inverter

Bauen Sie die Schaltung nach Bild 6.2 auf Seite 18 auf.

Für die frequenzabhängige Untersuchung der Schaltung wird diese mit einer sinusförmigen Wechselspannung gespeist. Die zu erfassenden Messgrößen sind die Amplituden der Spannungen.

Welche Näherungen dürfen Sie für die Herleitung der Übertragungsfunktion  $\frac{\hat{u}_{\text{out}}}{\hat{u}_{in}}$  der Schaltung machen? Wie lautet die Übertragungsfunktion für niedrige Frequenzen?

Näherungen: 
$$\frac{1}{\sqrt{2}} \approx 0$$
  $\frac{\hat{u}_{out}}{\hat{u}_{in}} = v_r = -\frac{Q_N}{Q_A} = -1$ 

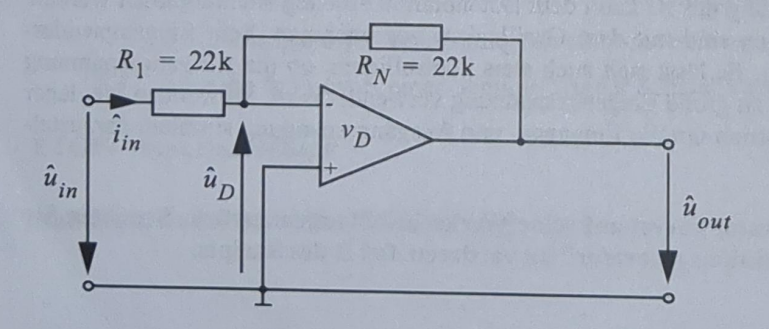


Bild 6.2 Gegenkopplungsschaltung als Inverter

## 6.2.1 Aufgabe 2a: Frequenzgang der Inverterschaltung

0

Speisen Sie die Schaltung mit einer sinusförmigen, offsetfreien Wechselspannung mit einer Amplitude von  $\hat{u}_{in}=150~\text{mV}$  aus dem Funktionsgenerator.

Aktivieren Sie zur Einstellung der 150 mV Amplitude die -20 dB Dämpfung durch Herausziehen des AMPL-Drehreglers. Verwenden Sie den 50 $\Omega$  OUTPUT. Verwenden Sie AC-Coupling für die Messung von  $\hat{u}_{out}$ , da die Ausgangsspannung nicht offsetfrei sein kann. Im Bereich ab 1MHz müssen Sie ggf. die Eingangsamplitude auf  $\hat{u}_{in}=150~\mathrm{mV}$  nachregeln.



Messen Sie  $\hat{u}_{\rm out}$  am Oszilloskop mit der CURSOR MEASURE – V to GND Funktion für die Frequenzen: f=1 kHz, 10 kHz, 10 kHz – 1 MHz. Wählen Sie im Knickbereich und im Dämpfungsbereich selbst ausreichend Messpunkte um die Kurve korrekt zu erfassen.

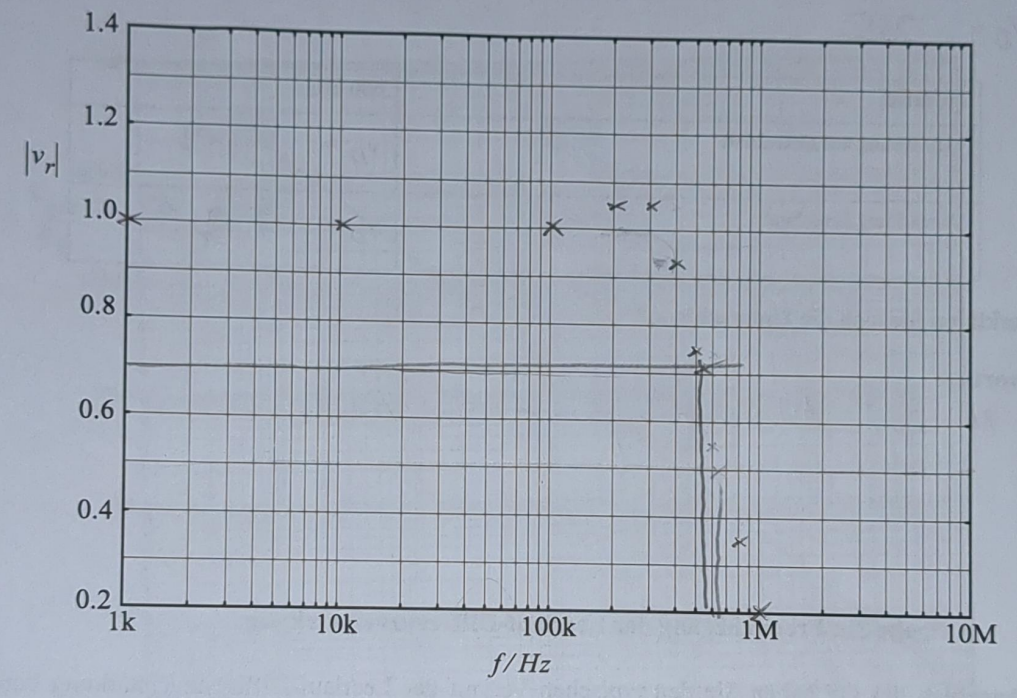


Bild 6.3 Frequenzgang der Inverterschaltung

Berechnen Sie die Verstärkung  $|v_r|$  und tragen Sie diese in das Diagramm ein. Beobachten Sie die Phasenlage beider Spannungen.

Wo liegt die Grenzfrequenz der Schaltung? Tragen Sie diese in das Diagramm ein.

Antwort: 
$$f_g = -SBOEHZ$$

Berechnen Sie die Leerlauf-Differenzverstärkungen  $v_D$  aus ihrer gemessenen Verstärkung  $v_r$  für 600 kHz. Stellen Sie dazu Gl. (5.13) auf Seite 13 nach  $v_D$  um. Beachten Sie die Vorzeichen der gemessenen Spannungen! Entnehmen Sie die Leerlauf-Differenzverstärkungen  $v_D$  aus dem OPEN-LOOP LARGE-SIGNAL DIFFERENTIAL VOLTAGE AMPLIFICATION Diagramm des Datenblatts im Anhang und vergleichen Sie die beiden Werte.

#### 6. Kapitel: Versuchsdurchführung

#### Berechnung:

$$-\frac{U_{\text{in}}}{U_{\text{out}}} = \frac{1}{V_0} + \frac{\varrho_1}{R_N} \left( 1 + \frac{1}{V_0} \right)$$

$$= \frac{1}{V_0} \left( 1 + \frac{\varrho_2}{\varrho_N} \right) + \frac{\varrho_1}{\varrho_N}$$

$$= \frac{1}{V_0} \left( 1 + \frac{\varrho_2}{\varrho_N} \right) + \frac{1}{\varrho_N}$$

$$= \frac{1}{V_0} \left( 1 + \frac{\varrho_2}{\varrho_N} \right) + \frac{1}{\varrho_N}$$

$$= \frac{1}{V_0} \left( 1 + \frac{\varrho_2}{\varrho_N} \right) + \frac{1}{\varrho_N}$$

$$= \frac{1}{V_0} \left( 1 + \frac{\varrho_2}{\varrho_N} \right) + \frac{1}{\varrho_N}$$

$$= \frac{1}{V_0} \left( 1 + \frac{\varrho_2}{\varrho_N} \right) + \frac{1}{\varrho_N}$$

$$= \frac{1}{V_0} \left( 1 + \frac{\varrho_2}{\varrho_N} \right) + \frac{1}{\varrho_N}$$

$$= \frac{1}{V_0} \left( 1 + \frac{\varrho_2}{\varrho_N} \right) + \frac{1}{\varrho_N}$$

$$= \frac{1}{V_0} \left( 1 + \frac{\varrho_2}{\varrho_N} \right) + \frac{1}{\varrho_N}$$

$$= \frac{1}{V_0} \left( 1 + \frac{\varrho_2}{\varrho_N} \right) + \frac{1}{\varrho_N}$$

$$= \frac{1}{V_0} \left( 1 + \frac{\varrho_2}{\varrho_N} \right) + \frac{1}{\varrho_N}$$

$$= \frac{1}{V_0} \left( 1 + \frac{\varrho_2}{\varrho_N} \right) + \frac{1}{\varrho_N}$$

$$= \frac{1}{V_0} \left( 1 + \frac{\varrho_2}{\varrho_N} \right) + \frac{1}{\varrho_N}$$

$$= \frac{1}{V_0} \left( 1 + \frac{\varrho_2}{\varrho_N} \right) + \frac{1}{\varrho_N}$$

Frequenz		600 kHz				
Verstärkung aus Datenblatt	717	$v_D = (SdB)$				
Verstärkung berechnet		vD = 7,81B				

Wie erklären Sie sich die Unterschiede?

#### Antwort:

### 6.2.2 Aufgabe 2b: Frequenzgang der Leerlauf-Differenzverstärkung

Im Datenblatt des OP haben Sie den typischen Verlauf der Leerlauf-Differenzverstärkung bereits kennengelernt. Diese soll nun für ihren OP vermessen werden. Da die Differenzspannung  $\hat{u}_D$  sehr klein und deshalb sehr schlecht messbar ist, verwendet man die Schaltung nach Bild 6.4.

Welcher Zusammenhang besteht zwischen  $\hat{u}_D$  und  $\hat{u}_1$ ?

Antwort: 
$$\frac{\hat{U}_0}{\hat{U}_1} = \frac{120}{(47+1)20} = \frac{4}{48} = 0.0208$$

Verwenden Sie die konstante Eingangsamplitude  $\hat{u}_{in} \approx 3\,V$ . Messen Sie jetzt die Spannungsamplituden  $\hat{u}_{out}$  und  $\hat{u}_1$  in Abhängigkeit von der Frequenz wieder mit dem Oszilloskop im Bereich 100 Hz $^-$ 1000 kHz, auch bei verrauschtem Signal, und tragen Sie  $v_D(f) = \hat{u}_{out}/\hat{u}_D$  in das nachfolgende doppellogarithmische Papier ein. Um mögliche Offsetspannungen zu eliminieren messen Sie  $\hat{u}_1$  und  $\hat{u}_{out}$  am besten im AC-coupling Modus.

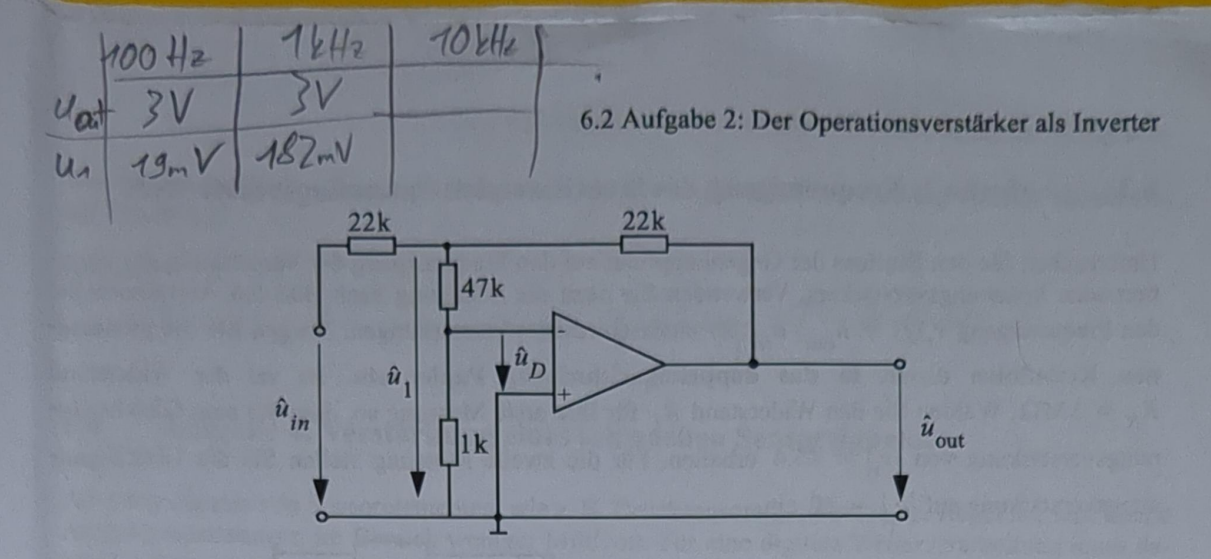


Bild 6.4 Messschaltung zur Bestimmung des Frequenzgangs der Leerlauf-Differenzverstärkung



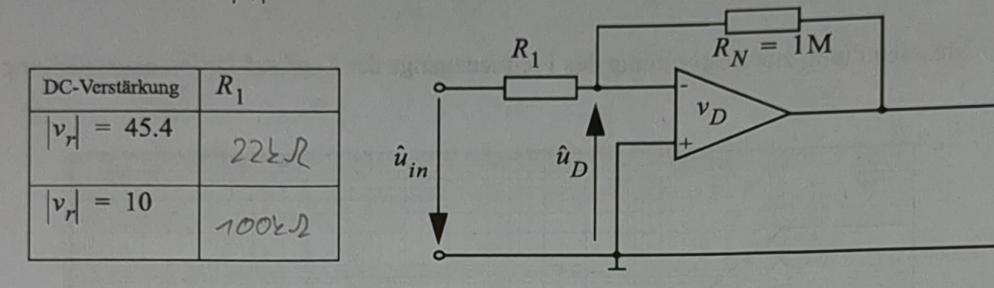
Bild 6.5 Frequenzgang der Leerlauf-Differenzverstärkung  $v_D$ .

Ergänzen Sie ohne Messung die Kurve im Bereich  $0-100\,\mathrm{Hz}$ . Wie sind Sie vorgegangen? Vergleichen Sie Ihr Ergebnis mit dem Diagramm im Datenblatt.

#### **Antwort:**

# 6.3 Aufgabe 3: Frequenzgang des invertierenden Spannungsverstärkers

Untersuchen Sie den Einfluss der Gegenkopplung auf den Frequenzgang der Verstärkung des invertierenden Spannungsverstärkers. Verwenden Sie dazu die Schaltung nach Bild 6.6. Vermessen Sie den Frequenzgang  $v_r(f) = \hat{u}_{\text{out}}/\hat{u}_{in}$  für unterschiedliche Verstärkungen. **Tragen Sie die gemessenen Kennlinien direkt in das doppellogarithmische Papier ein.** Es sei der Widerstand  $R_N = 1 \text{M}\Omega$ . Wählen Sie den Widerstand  $R_1$  für Ihre erste Messung so, dass Sie eine Gleichspannungsverstärkung von  $|v_r| = 45.4$  erhalten. Für die zweite Messung stellen Sie die Gleichspannungsverstärkung auf  $|v_r| = 10$  ein.



**Bild 6.6** Invertierender Verstärker mit variablem  $v_r$ .

Wählen Sie  $\hat{u}_{in}=150~\text{mV}$ . Aktivieren Sie dazu wieder die -20dB Dämpfung des Funktionsgenerators. Wählen Sie geeignete Frequenzen. Falls die Verstärkung mit zunehmender Frequenz abnimmt, dann mit stetiger und nicht mit sprunghafter Tangente (die Natur macht keine Sprünge!). Im Bereich der Grenzfrequenz müssen Sie ggf. mit einer feineren Frequenzabstufung Messungen durchführen.

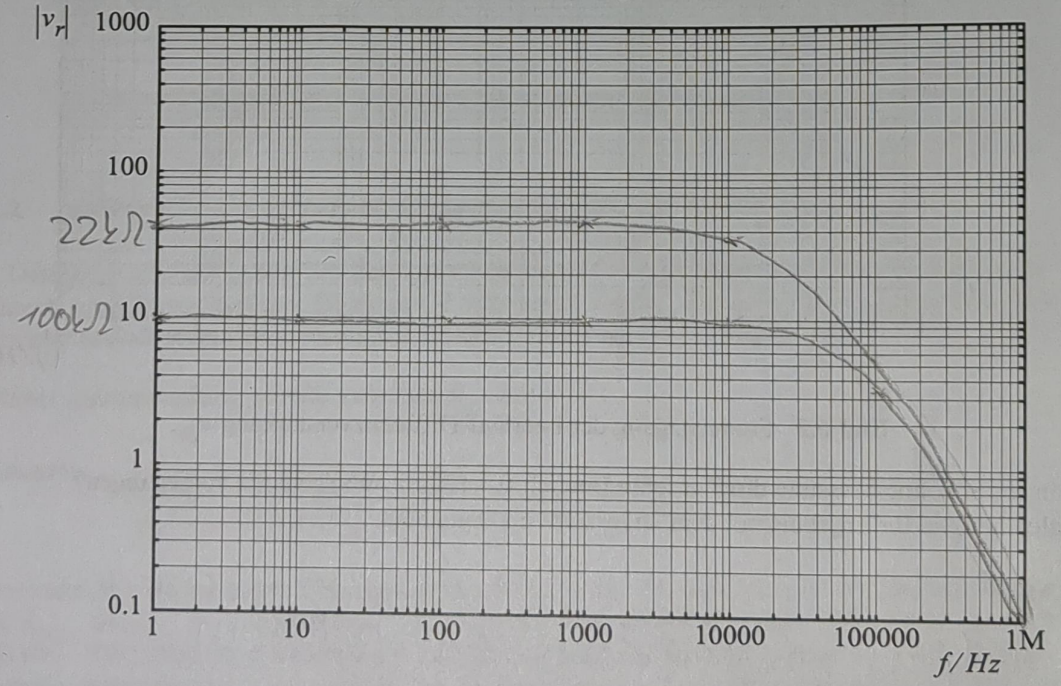


Bild 6.7 Einfluss der Gegenkopplung auf den Frequenzgang der Verstärkung

Wie ist der qualitative Zusammenhang zwischen der eingestellten Verstärkung und der Bandbreite der Schaltung?

#### Antwort:

## 6.4 Aufgabe 4: Verstärkung eines schwachen Sensorsignales

Ausgangssignale von Sensorelementen, wie z. B. Drucksensoren, liefern in der Regel nur sehr kleine Ausgangsspannungen im Bereich weniger Millivolt. Für eine digitale Weiterverarbeitung muss daher die Sensorspannung verstärkt werden. Die Verstärkerschaltung wird häufig mit einem Operationsverstärker realisiert.

Bild 6.8 zeigt das Ersatzschaltbild eines Sensors mit interner, hochohmiger, sinusförmiger Quelle.

Berechnen Sie die Amplitude  $\hat{u}_{sens}$  der Ausgangsspannung für  $\hat{u}_q = 6V$ :

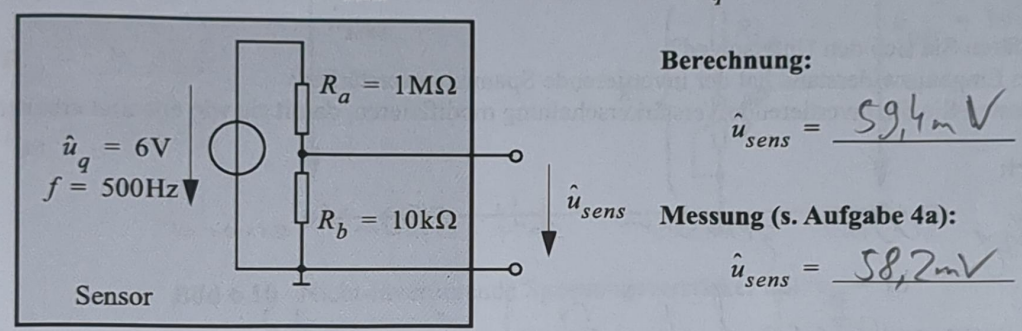


Bild 6.8 Ersatzbild eines Sensors mit hochohmigem Ausgangswiderstand

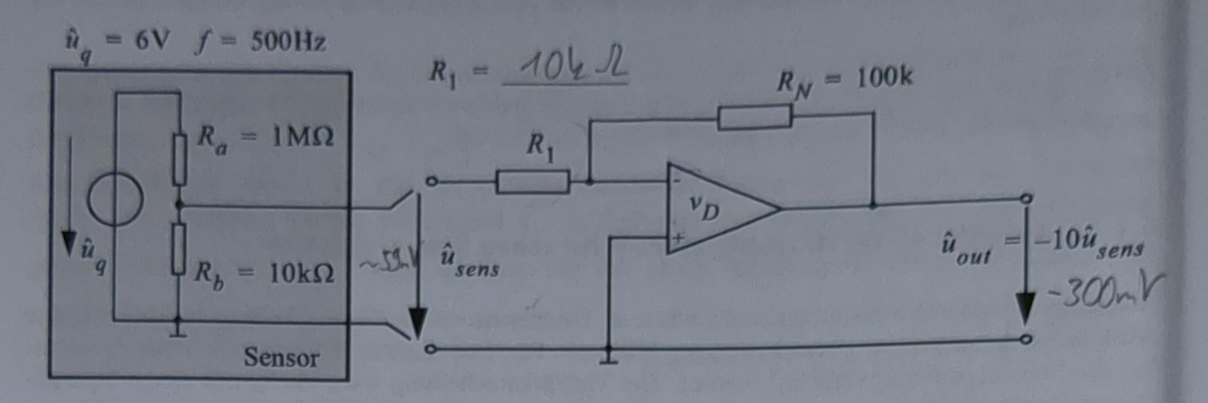
Bauen Sie die Schaltung auf und überprüfen Sie ihre Rechnung durch Messung der Ausgangsamplitude mit dem Oszilloskop. Als Quelle verwenden Sie den Funktionsgenerator mit einer offsetfreien symmetrischen Sinusspannung der Amplitude  $\hat{u}_a=6\mathrm{V}$  und  $f=500\mathrm{Hz}$ .

#### 6.4.1 Aufgabe 4a: Verstärkung mit invertierendem Verstärker

Speisen Sie nun  $\hat{u}_{sens}$  aus dem Spannungsteiler von Bild 6.8 in den invertierenden Verstärker nach Bild 6.9 ein. Dimensionieren Sie  $R_1$  so, dass für das gegebene  $R_N=100$ k die Verstärkung  $|v_r|=10$  wird.

Welche Ausgangsspannung  $\hat{u}_{qut}$  erwarten Sie?

#### Antwort:



**Bild 6.9** Invertierende Spannungsverstärker mit  $|v_r| = 10$ 

Messen Sie die Ausgangsspannung  $\hat{u}_{out}$  mit dem Oszilloskop und vergleichen Sie die Messung mit Ihrer Erwartung.

Wie erklären Sie sich den Unterschied?

Welchen Eingangswiderstand hat der invertierende Spannungsverstärker?

Wie müssten Sie die invertierende Verstärkerschaltung modifizieren, damit sie wie erwartet arbeitet?

#### Antwort:

## 6.4.2 Aufgabe 4b: Verstärkung mit nicht-invertierendem Verstärker

Eine der besonderen Eigenschaften des nicht-invertierenden Spannungsverstärkers ist sein hoher Eingangswiderstand. Damit ist es möglich, Messsignale aus sehr schwachen Signalquellen auszukoppeln.

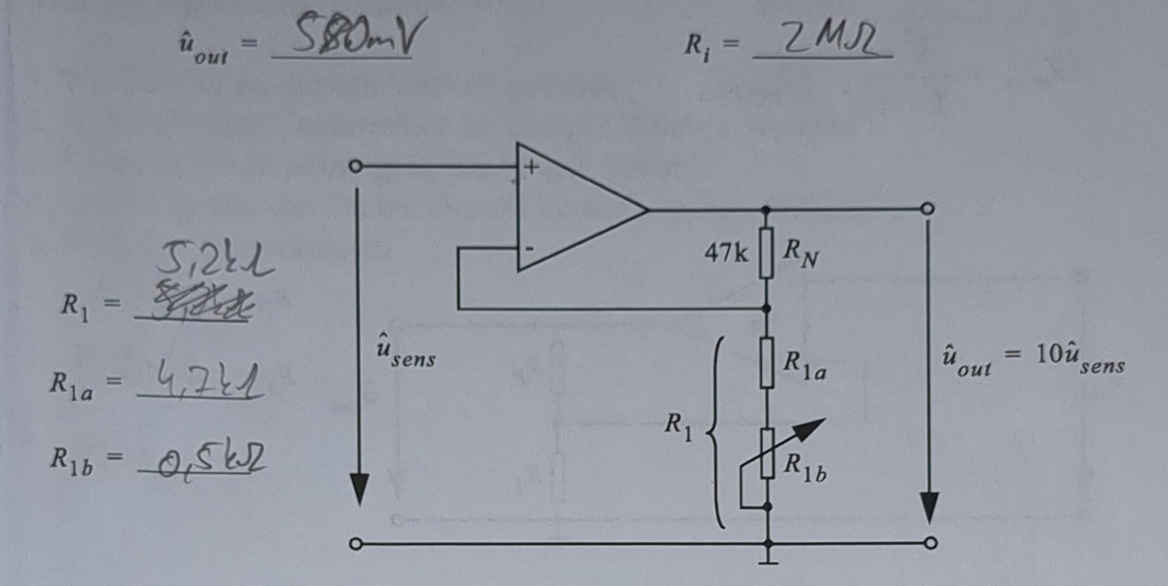
Bestimmen Sie die Verstärkerschaltung nach Bild 6.10 so, dass  $\hat{u}_{out} = 10\hat{u}_{sens}$  gilt.

### Dimensionierung der Widerstände:

Stellen Sie zuerst  $R_1 = R_{1a} + R_{1b}$  mit Hilfe des Ohmmessbereichs Ihres Multimeters auf den von Ihnen berechneten Wert ein und bauen Sie anschließend die Schaltung nach Bild 6.10 auf.

Überprüfen Sie mit dem Oszilloskop die Ausgangsspannung. Welchen Eingangswiderstand  $R_i$  hat die Verstärkerschaltung?

#### Antwort:



**Bild 6.10** Nicht-invertierende Spannungsverstärker mit  $v_r = 10$ 

$$V_{q} = 1 + \frac{\ell_{w}}{\ell_{1}}$$
 $\ell_{1} = \frac{\ell_{w}}{g} = 5,222$ 
 $\ell_{13} = 0,522$ 

### 6.5 Aufgabe 5: Entwurf eines Schmitt-Trigger Schwellwertschalters

In diesem Versuch soll von Ihnen ein Schmitt-Trigger nach Bild 6.11 entworfen werden mit folgenden Eigenschaften: Obere Schwellenspannung  $U_{\rm aus} \approx +2.1 \, \rm V$ , untere Schwellenspannung  $U_{\rm ein} \approx -2.1 \, \rm V$ .

Bestimmen Sie zuerst messtechnisch den Aussteuerbereich des Operationsverstärkers. Dimensionieren Sie anschließend die Widerstände  $R_P$  und  $R_1$  für die oben gegebenen Schwellenspannungen.

Bauen Sie den Schmitt-Trigger nach Bild 6.11 auf und überprüfen Sie ihre Schaltung, indem Sie ein dreieckförmiges Eingangssignal  $\hat{u}_{in}$  der Frequenz 1kHz einspeisen. Variieren Sie die Amplitude.

6. Kapitel: Versuchsdurchführung

## Dimensionierung der Widerstände:

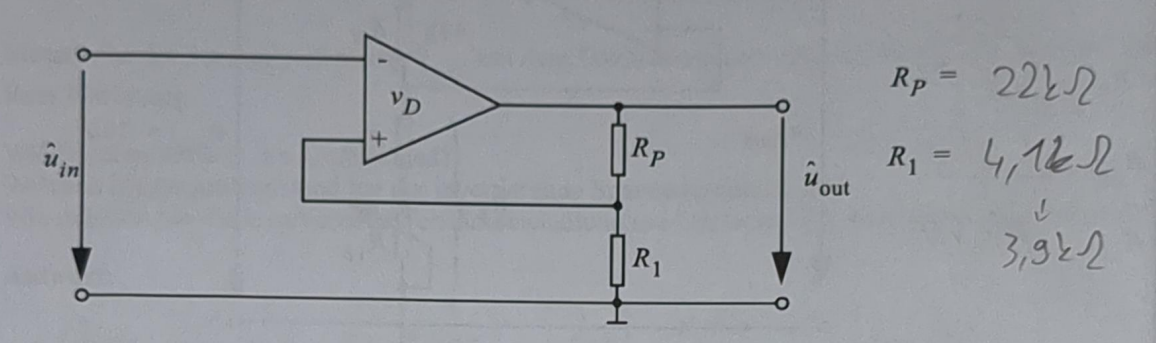
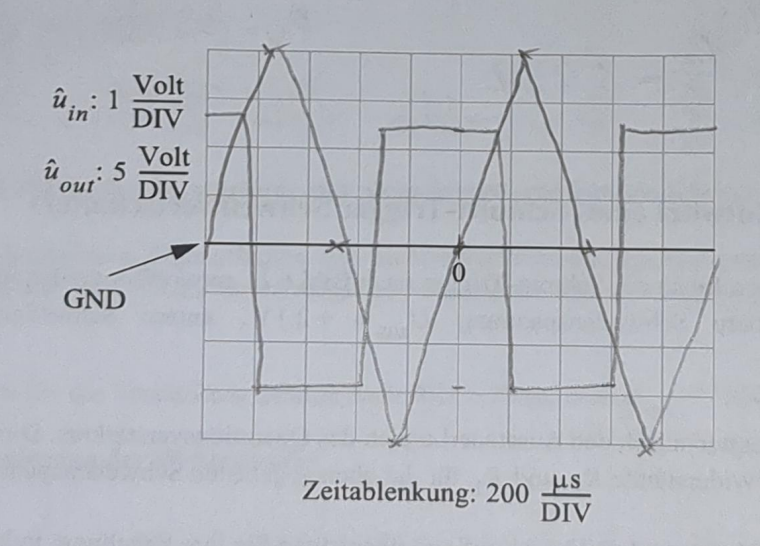


Bild 6.11 Schmitt-Trigger

Skizzieren Sie  $\hat{u}_{in}$  und  $\hat{u}_{out}$  für  $\hat{u}_{in} = 4 \text{V}$ . Der Nulldurchgang des Dreiecksignals soll bei positiver Steigung durch den Mittelpunkt 0 führen.



Reinigen Sie die Arbeitsfläche ggf. von Radiergummi-Krümeln.



## Karlsruher Institut für Technologie

Institut für Regelungs- & Steuerungssysteme Prof. Gert F. Trommer



## ETGP - Versuchsfeedback

Versuch: Operationsverstärker I

Datum:

- 1. Was hat Dir an diesem Versuch gefallen?
- 2. Gibt es Fehler/Unklarheiten im Skript? Wenn ja, welche?
- 3. Konnten die Betreuer gestellte Fragen klären?
- 4. Gibt es etwas, das Du bei diesem Versuch ändern würdest?
- 5. Sonstige Anmerkungen

# Anhang A Datenblatt OP uA741 (Auszug)

## μΑ741, μΑ741Υ GENERAL-PURPOSE OPERATIONAL AMPLIFIERS

SLOS0948 - NOVEMBER 1970 - REVISED SEPTEMBER 2000

MA741M ... J PACKAGE

- Short-Circuit Protection
- Offset-Voltage Null Capability
- Large Common-Mode and Differential Voltage Ranges
- No Frequency Compensation Required
- Low Power Consumption
- No Latch-Up
- Designed to Be Interchangeable With Fairchild µA741

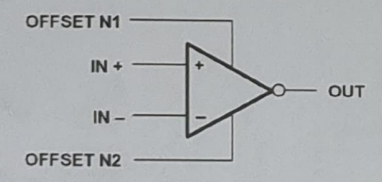
#### description

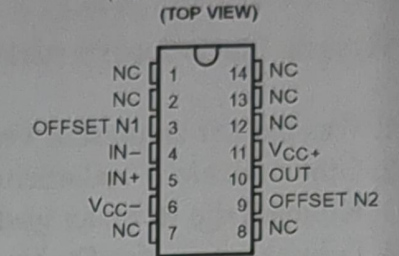
The  $\mu A741$  is a general-purpose operational amplifier featuring offset-voltage null capability.

The high common-mode input voltage range and the absence of latch-up make the amplifier ideal for voltage-follower applications. The device is short-circuit protected and the internal frequency compensation ensures stability without external components. A low value potentiometer may be connected between the offset null inputs to null out the offset voltage as shown in Figure 2.

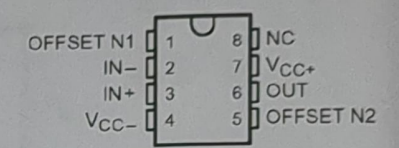
The  $\mu$ A741C is characterized for operation from 0°C to 70°C. The  $\mu$ A741l is characterized for operation from -40°C to 85°C.The  $\mu$ A741M is characterized for operation over the full military temperature range of -55°C to 125°C.

#### symbol





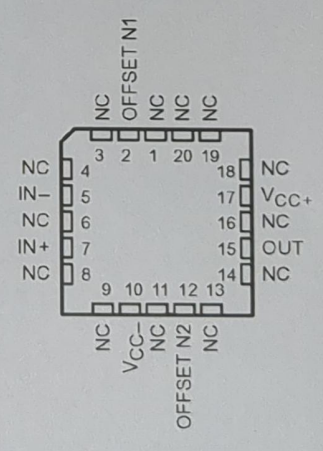
μΑ741M . . . JG PACKAGE μΑ741C, μΑ7411 . . . D, P, OR PW PACKAGE (TOP VIEW)



μΑ741M . . . U PACKAGE (TOP VIEW)



μΑ741M ... FK PACKAGE (TOP VIEW)



NC - No internal connection

# μΑ741, μΑ741Y GENERAL-PURPOSE OPERATIONAL AMPLIFIERS

SLOS094B - NOVEMBER 1970 - REVISED SEPTEMBER 2000

# electrical characteristics at specified free-air temperature, $V_{CC\pm}$ = $\pm 15$ V (unless otherwise noted)

	PARAMETER	TEST		1	A741C		µА741I, µА741М			1007	
PARAMETER		CONDITIONS	TAT	MIN	TYP	MAX	MIN	TYP	MAX	UNIT	
VIO	Input offset voltage	V <sub>O</sub> = 0	25°C	OF THE	1	6	1 de	1	5	mV	
1			Full range	-		7.5	All and		6		
ΔV <sub>IO(adj)</sub>	Offset voltage adjust range	V <sub>O</sub> = 0	25°C	Maria Carlo	±15			±15	1 10 10	mV	
10	Input offset current	V <sub>O</sub> = 0	25°C	1989	20	200		20	200	nA	
		40-0	Full range	12000	22 173	300		PARTE	500	II.	
IB	Input bias current	V <sub>O</sub> = 0	25°C	B or	80	500	37.83	80	500	nA	
	imporbias current	VO - 0	Full range	The Real		800		16	1500		
VICR	Common-mode input		25°C	±12	±13	10000	±12	±13		V	
-011	voltage range	A SA SA	Full range	±12	The state of the s	NE S	±12		11/10		
	Maximum peak output voltage swing	R <sub>L</sub> = 10 kΩ	25°C	±12	±14		±12	±14		V	
VOM		R <sub>L</sub> ≥ 10 kΩ	Full range	±12			±12				
CIVI		$R_L = 2 k\Omega$	25°C	±10	±13	220	±10	±13			
		R <sub>L</sub> ≥ 2 kΩ	Full range	±10			±10	1 3 1	7 350		
AVD	Large-signal differential voltage amplification	R <sub>L</sub> ≥ 2 kΩ	25°C	20	200		50	200	16	V/m	
		V <sub>O</sub> = ±10 V	Full range	15	N. R. S.	0.3	25	100			
η	Input resistance		25°C	0.3	2	7	0.3	2	3 1	ΜΩ	
ro	Output resistance	V <sub>O</sub> = 0, See Note 5	25°C	Tarre s	75			75		Ω	
Ci	Input capacitance		25°C	1000	1.4			1.4		pF	
CMRR .	Common-mode rejection ratio	Via = Via=min	25°C	70	90	37327	70	90	63 1	dB	
		V <sub>IC</sub> = V <sub>ICR</sub> min	Full range	70		1700	70			UB	
ksvs	Supply voltage sensitivity $(\Delta V_{IO}/\Delta V_{CC})$	V <sub>CC</sub> = ±9 V to ±15 V	25°C		30	150	1771	30	150	uV/V	
		ACC - 13 A 10 112 A	Full range		3754 3	150	7200		150		
los	Short-circuit output current		25°C	Man	±25	±40		±25	±40	mA	
lcc	Supply current	V <sub>O</sub> = 0, No load	25°C		1.7	2.8		1.7	2.8	mA	
			Full range			3.3			3.3	- WA	
PD	Tabel account discharge	V <sub>O</sub> = 0, No load	25°C	III of the	50	85		50	85	mV	
U	Total power dissipation	VO = 0, No load	Full range	THE STATE OF		100	1200		100	mvv	

<sup>†</sup> All characteristics are measured under open-loop conditions with zero common-mode input voltage unless otherwise specified. Full range for the µA741C is 0°C to 70°C, the µA741I is –40°C to 85°C, and the µA741M is –55°C to 125°C.

NOTE 5: This typical value applies only at frequencies above a few hundred hertz because of the effects of drift and thermal feedback.

### operating characteristics, $V_{CC\pm}$ = ±15 V, $T_A$ = 25°C

PARAMETER		TECT	TEST CONDITIONS		µА741С			μΑ741Ι, μΑ741Μ		
		TEST C			TYP	MAX	MIN	TYP	MAX	UNIT
tr	t <sub>r</sub> Rise time	$V_1 = 20 \text{ mV},$	$R_1 = 2 k\Omega$		0.3		0.3	0.3		μs
	Overshoot factor	CL = 100 pF,	See Figure 1		5%	198	Market Control	5%	13/13/3	
SR	Slew rate at unity gain	V <sub>I</sub> = 10 V, C <sub>L</sub> = 100 pF,	R <sub>L</sub> = 2 kΩ, See Figure 1		0.5			0.5		V/µs

### μΑ741, μΑ741γ GENERAL-PURPOSE OPERATIONAL AMPLIFIERS

SLOS094B - NOVEMBER 1970 - REVISED SEPTEMBER 2000

#### TYPICAL CHARACTERISTICS

